# 静止流体中を2尾で遊泳するアユの遊泳特性に及ぼす濁度の影響

九州工業大学 学生会員 〇上田紗奈江,赤藤哲瑛

九州工業大学大学院 学生会員 藏本更織 九州工業大学大学院 正会員 鬼束幸樹

九州工業大学大学院 フェロー会員 秋山壽一郎

#### 1.はじめに

河川構造物を建設する際に、濁水などが発生し河川水質に影響を 及ぼす.変化した水質においても水生生物が生息可能であることが 求められる.そのため、濁度などが魚類の行動特性に及ぼす影響が 研究されてきた.しかしながら、我が国の内水面漁業漁獲高の上位 である <sup>1)</sup>アコの行動特性と濁度との関係を研究した例は少なく、明 瞭な研究は成されていない.本研究は、静止流体中において 2 尾で 遊泳するアコの遊泳特性に及ぼす濁度の影響を検討したものである.

# 2. 実験装置および実験条件

実験には平均体長 $\overline{B_L}$ が 70mm の養殖アユを用いた。直径 1.83m の円形プールの水を墨汁を用いて 5 段階に濁らせた。円形プールの水深は 0.04m とした。 $\mathbf{表}$ -1 に実験条件を示す。ケース名は濁度(turbidity) の頭文字  $\mathbf{T}$  と,墨汁を挿入していない水の照度  $\mathbf{E}_s$  を 100 とした場合の照度比をパーセンテージで示している。円形プールの中央に 2 尾のアユを挿入し,馴致後,プールの上方に設置したビデオカメラでアユが側壁に到達するまでの様子を撮影する。この計測を各照度においてそれぞれ 20 回(合計 100 回)行った。撮影後,0.1s ごとのアユの遊泳位置を求め,遊泳距離 $\mathbf{L}$ ,遊泳速度 $\mathbf{V}$ ,個体間距離 $\mathbf{D}$  を算出した。

今回使用した墨汁の主成分は膠である. そのため, アユの挙動の変化が濁度ではなく, 膠成分によって引き起こされる懸念があるため, 同色で主成分が異なる食紅を用いて濁度を変化させて本実験と同様な予備実験を行った. その結果, 両者におけるアユの挙動に相違は見られなかった. したがって以下に示す実験結果は膠成分ではなく, 濁度による影響と判断される.

# 3. 実験結果および考察

# (1) アユの遊泳行動のモデル化

アユが遊泳軌跡を $\mathbf{Z}$ -1 のようにモデル化する。屈折点と次の屈折点との間の距離を遊泳距離L,遊泳速度をV,屈折角度を $\theta$ とした。屈折角度 $\theta$ は上部から見て右回転を正、左回転を負とした。

鬼束ら<sup>2)</sup>はアユが静止流体中を2尾で遊泳する場合,遊泳開始から2branchまでは遊泳開始の履歴があると述べた.また,側壁との距離が体長の1倍未満になると遊泳特性が変化することを指摘した.そのため,アユが遊泳開始から3branch以上かつ側壁から体長の1倍以上離れた領域を遊泳する場合を普遍遊泳,アユが側壁から体長の1倍未満の領域を遊泳する場合を側壁遊泳と定義した.本研究においても同様の傾向が見られたため,この定義を採用した.以下の解析では、普遍遊泳のみを対象とする.

### (2) 普遍遊泳時の遊泳距離

図-2 にアユの遊泳距離  $L_{\Pi}$  を平均体長  $\overline{B_L}$  で除した値の頻度分布を 濁度別に示す.いずれの濁度においても遊泳距離  $L_{\Pi}$  は,低値が高 頻度で高値方向に裾をもつ形状を示している.そこで,次式に示す

表-1 実験条件

	$E_n(\mathbf{lx})$	$E_n/E_5 \times 100$	Case name
$E_1$	70	4	T004
$E_2$	90	6	T006
$E_3$	280	20	T020
$E_4$	530	40	T040
$E_5$	1510	100	T100

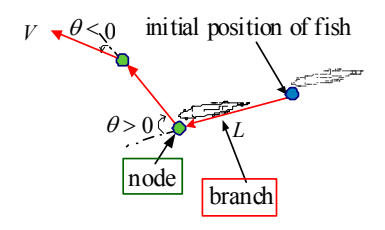


図-1 遊泳距離の頻度分布

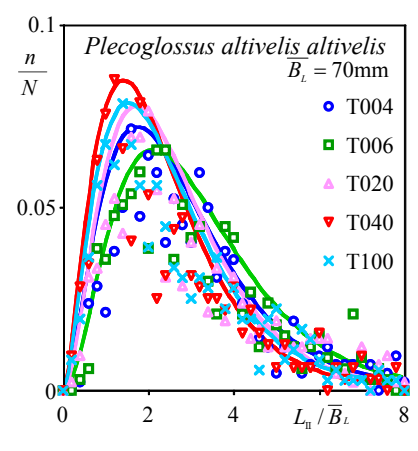


図-2 遊泳距離の頻度分布

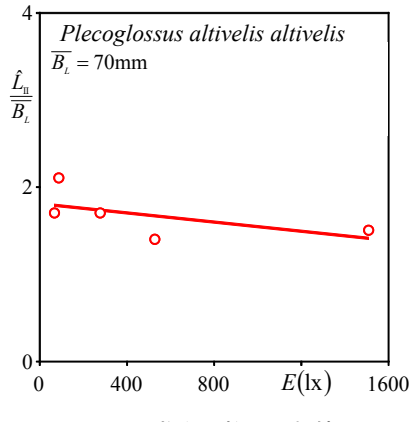


図-3 遊泳距離の最頻値

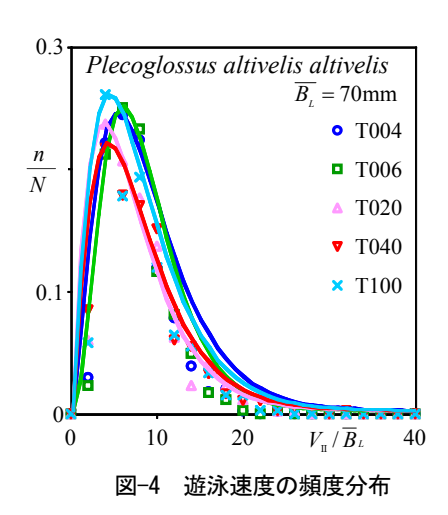
ガンマ分布を採用し、同図中に曲線で示した.

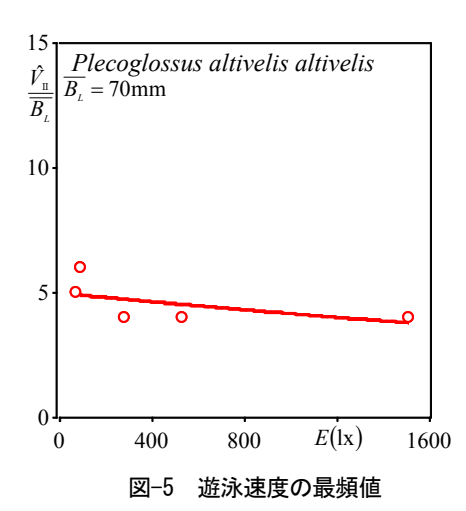
$$f(L_{II} / \overline{B_L}) = \frac{1}{\Gamma(\lambda)} \alpha^{\lambda} (L / \overline{B_L})^{\lambda - 1} e^{-aL / \overline{B_L}} \quad (1)$$
$$\Gamma(\lambda) = \int_{0}^{\infty} e^{-x} x^{\lambda - 1} dx \quad (2)$$

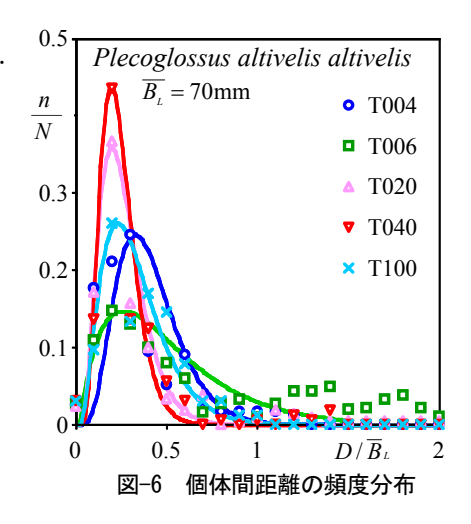
係数 $\alpha$ ,  $\lambda$ は最小二乗法により算出した. 同図より,濁度による遊泳距離の頻度に変化は観測できない. 図-3 に照度 E と遊泳距離の最頻値  $\hat{L}_{\Pi}$  をアユの平均体長  $\overline{B}_{L}$  で除した値との関係を示すと共に,両者の関係を直線で示した. 同図より,濁度の変化に伴い遊泳距離はほぼ 1.9 で一定値を示しているしたがって,アユの遊泳距離は濁度との相関はなく,体長の 1.9 倍で一定であるということが言える.

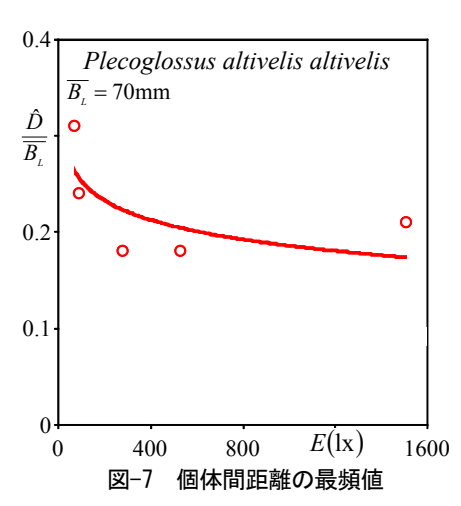
### (3) 普遍遊泳時の遊泳速度

図-4 にアユの遊泳速度 $V_{\Pi}$ を平均体長 $\overline{B_L}$ で除した値の頻度分布を濁度別に示す.遊泳速度の頻度は低値で高く、高値方向に裾をもつ形状を示すことがわかる.よって、式(1)、(2)に示すガンマ分布を採用し、式(1)中の $L_{\Pi}$ を $V_{\Pi}$ と置き換え、図-4 中に曲線で示した.









同図より、遊泳速度の頻度に濁度による変化は観察できない。**図-5** に照度 E と遊泳距離の最頻値  $\hat{V}_{\Pi}/\overline{B_L}$  をアユの平均体長  $\overline{B_L}$  で除した値との関係を示すと共に、両者の関係を直線で示した。同図より、濁度の変化に伴い遊泳速度は体長のほぼ 4.5 倍で一定値を示している。したがって、アユの遊泳速度と濁度との相関はないと考えられる。

# (4) 普遍遊泳時の個体間距離

図-6 にアユの個体間距離 Dを平均体長  $\overline{B_L}$  で除した値の頻度分布を濁度別に示す. 遊泳速度の頻度は低値で高く,高値方向に裾をもつ形状を示すことがわかる. よって,式(1),(2)に示すガンマ分布を採用し式(1)中の  $L_{\Pi}$  を D と置き換え,図-6 中に曲線で示した. 濁度の増加に伴い最頻値が増加していることが分かる. 図-7 に照度 E と遊泳距離の最頻値  $\hat{D}/\overline{B_L}$  をアユの平均体長  $\overline{B_L}$  で除した値との関係を示すと共に,両者の関係を対数直線で示した. 同図より,濁度の増加に伴い個体間距離は増加すると言える. これは濁度が増すことでアユの視界が悪くなり,2 尾が遊泳を共にしなくなったと考えられる.

### 4. おわりに

本研究では、静止流体中において2尾で遊泳するアユの遊泳特性に及ぼす濁度の影響を実験的に解明した. 本研究より得られた知見は以下の通りである.

- (1) アユの普遍遊泳時の遊泳距離は、濁度に関わらず体長の1.9倍で一定値を示す.
- (2) アユの普遍遊泳時の遊泳速度は、体長の4.5倍で一定値を示し、濁度との相関はないことを解明した.
- (3) 濁度の増加に伴いアユの視界が悪化し、普遍遊泳時の個体間距離が増加することを解明した.

#### 参考文献

- 1) 農林水産省大臣官房統計部生産流通消費統計課:漁業・養殖業生産統計年報, 2011.
- 2) 鬼東幸樹, 秋山壽一郎, 木内大介, 髙橋康行, 飯國洋平: 階段式魚道における切り欠き位置が魚の遡上率に及ぼす影響, 水工学論文集, 第51巻, pp.1279-1284, 2007.